

道路橋と盛土の接続部に陥るアプローチ・クッション方式の構造

日本道路公团 赤井公昭

1. 概説

自動車道路の使命は、自動車が高速度で、安全に、かつ快適に走行しうることであるが、いまなお自動車の走行性を悪くする因子が残っている。この一つに盛土と構造物との接続部の段差があり、自動車道路の機能の著しい弊害をもたらしている。

この原因是盛土 자체の圧縮変形、基礎地盤の圧密沈下および基礎地盤の塑性流動に起因しているため、現時点の土木技術ではこれらの因子を容易に除去することはできない。とくに、軟弱地盤上や高盛土に接続する橋台の場合、長期の路面変形としてあらわれるためには、ますます路面の連続性は確保しがたいのが現状である。

従来から道路技術者の多くは、この解決のために努力されてきたにもかかわらず、いまだ十分な対策を打ち出すまでにはいたっていない。すなわち、いままでは盛土自体の圧縮変形を少なくし、基礎地盤の沈下を極力少なくする方法として良質な裏込め材と緻密な締め固め施工、アレローティング工法、置換工法および基礎地盤安定処理（サンドコンパクションパイル、バイアロフロー・テーションなど）を沈下防止対策として用いられたり、急激な段差をなくすと路掛板を兼用する例もみられる。

しかるに、これらの対策

の結果は橋台部の工費

が膨大となるばかりか、

路面の平坦性すら有効に

確保できない実状となり、

しかも、地震時土圧に抵抗するに十分なクイ本数

を施工していくと施工時

の盛土荷重によって橋台

が徐々に前面に移動し、

ついには橋台の破壊を引

き起こす例も多くみ受け

られる。

以上の理由から、従来

の橋台の形式の欠陥を補うために新たに開発されたのがアプローチ・クッション方式（Approach Cushion 方式 A.C. 方式）である。

1.1 A.C. 方式の基本構造

この方式は従来の沈下を防止する考え方から、構造形式を選ぶことにより急激な投達を吸収する考え方へと脱皮したまったく新しい図-1に示す構造形式である。

すなわち図-1より明らかなとおり、盛土と構造物との接続部にA.C. 方式を設けるもので、

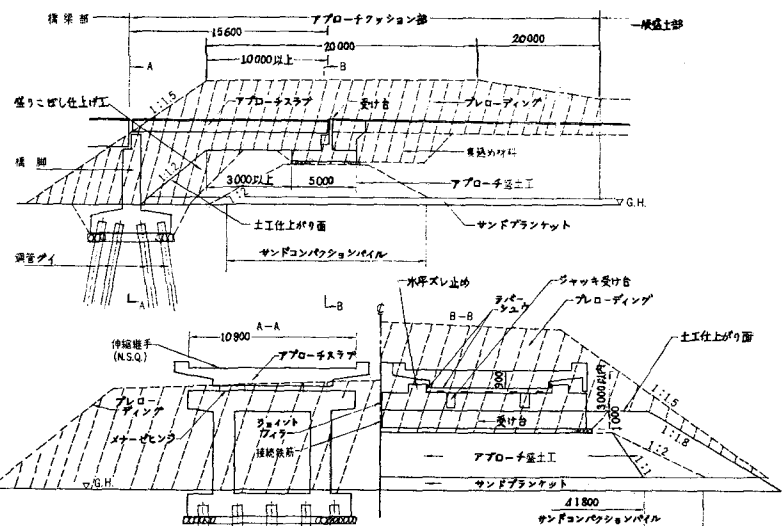


図-1 アプローチ・クッション方式

その構造は橋脚と盛土上に設ける受台（直接基礎）ヒアアプローチ・スラブ（静定構造物）を架設し、盛土の沈下とともにアプローチ・スラブの一端が回転を起こし、許容路面勾配に達したらスラブを所定の計画高さまで簡易にジャッキ・アップできるように設備したものである。また受台の不等沈下に対してはアプローチ・スラブにネジリ変形をまじさせないように、スラブにはネジリ剛性の大きい断面を用いて、かつスラブの橋脚側をセンジ支承とすることにより受台の不等沈下量を自動的にバランスできる構造にしたものである。

したがってこの方式は構造的に安定なものとなり、自動車走行上の盛土と構造物のクッション的役割をなし、橋脚には背面土圧が作用しない空間がある図-1の形式を基本構造としている。ここでA.C.方式の得失を従来の橋台形式との比較で列挙すると以下のとおりである。

1) 利点

- (1) 盛土と構造物との接続部の路面に段違いが生じない。
- (2) 橋脚の基礎ゲイの本数が少ないので、建設費は大半に節約できる。（図-2は工費比較の一例である。）
- (3) 受台の沈下を許す構造であるため。

- (4) 70° ローディングの放置期間が短かくて済み、工期が短縮できる。
- (5) 盛土荷重による偏土圧およびネガティブフリクションが低減でき、したがって構造物は安定となる。
- (6) 盛土および裏込め施工が容易かつ確実に施工できる。
- (7) 将来的な補修（パッチング）回数が少ないで、走行者には除雪等の煩らわしさが少なく、しかも走行便益が大きい。補修費の大半は節約も可能である。

2) 不足点

- (1) 維持、補修上から長期の管理が必要とする。
- (2) 施工実績が少ない。

1.2 A.C. 方式の施工例

この方式は東名高速道路の厚木インターチェンジから名古屋寄り約500m～4,000mの区间

に8ヶ所試験的に採用された。この地域は

図-3のとおり相模川沖積原であり、名古屋寄りは極く脆弱な

図 2 AC 方式の経済性と適用範囲

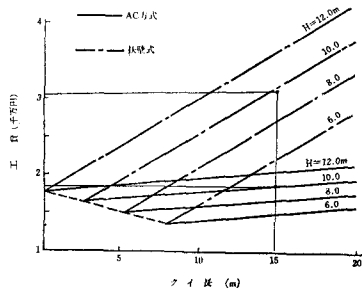


図 3 厚木・愛甲地区概略地盤断面図
適用条件
1. 地盤反応係数0.6kg/cm²
2. 鋼筋φ12 (ø60.6mm)
3. 土被り10.0m
4. ACスラブ=15.0m (RC穴あき版)
5. 抹込式は各柱には防音板を含む

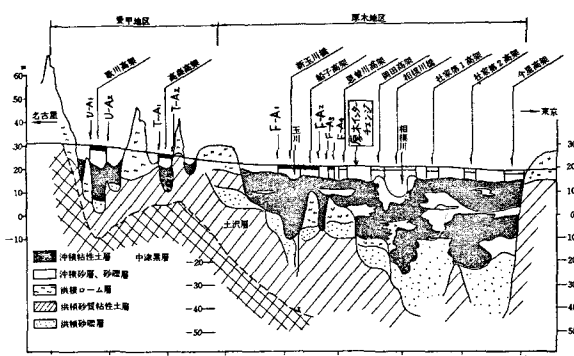


表 1

名 称	A.C. 方式	アプローチ・スラブ	支 扱	地盤の性質	基礎安	地盤強	計測強	アプロ	地盤の比	土質の種類
横川高架橋	S.T.A 193+23.4	山X斜X W.8,000×950 ×15,000	90°	巾X厚X W.5,000×1,000 ×26,300	シ ン 式	ラーメン式	η し	-	6.01	2.80
	S.T.A 193+39.5	+	90°	+	ア リ	*	S.C.P.	*	P.H. 31.4	P.H. + 5.4
(単純鋼脚)	S.T.A 196+54.5	+	90°	+	ア リ	*	△1.8m	9.45	6.45	3.44
	S.T.A 206+5.0	+	90°	+	ア リ	*	△1.8m	-	-	厚木土
高幡高架橋	T-T-A1	ST-A 206+20.7	+	90°	+	ア リ	*	△1.8m	-	-
	T-T-A2	ST-A 207+40.6	+	90°	+	ア リ	*	△1.8m	10.49	7.49
(単純鋼脚)	S.T.A 207+56.3	+	90°	+	ア リ	*	△3.4m	-	-	厚木土
	S.T.A 224+74.5	+	90°	+	ア リ	*	△3.4m	-	-	厚木土
船岡高架橋	F-T-A1	ST-A 224+89.0	7.740×950 ×15,000	65°	5,000×1,000 ×26,300	+	+	△1.8m	8.58	5.31
	F-T-A2	ST-A 224+96.5	+	90°	+	2柱式	*	△3.4m	8.34	5.34
相模P.C.	F-T-A3	ST-A 224+95.3	+	90°	+	2柱式	*	△3.4m	13.34	17.9
	F-T-A4	ST-A 231+51.5	+	64°	5,000×1,000 ×26,300	+	+	△3.4m	9.70	8.80
横浜および コントリートアーチ	F-T-A5	ST-A 231+67.2	+	64°	+	+	+	△3.4m	9.41	10.61
	F-T-A6	ST-A 231+84.0	+	64°	+	+	+	△3.4m	6.41	3.40
船岡	F-T-A7	ST-A 232+0.00	+	64°	+	+	+	△3.4m	123.5	174.8

※()はA.C.方式の軽量化
の構造式を示す。

A : A.C.方式

A : は地盤強度より東京間に修正を付けた。

は第 2 回の高速道路構造基準（伊勢原橋）の規定（ST-A）を用いた。

ゼート土層で、10～15m堆積し、厚木インター～エンシ寄り付近模様川、沖積粘土層が20～40m堆積する軟弱地盤である。しかも平野部を横断するため高速道路は東地盤面より約7～10mの盛土高となっている。この区間の高架、橋リヨンと盛土との接觸部は表一ノカヒカリすべてこまき式により設計、施工を行なった。技術的には未解決の問題も多いが、昭和40年4月から昭和43年4月までに各種の現場試験、模型試験と並行しながら設計および施工を完了した。現在、昭和41年7月の東名高速道路の開通とともにその真価を發揮しつつあり、予想通り期待と役割を果している。

ここでは、この方式に関する設計、施工および維持、補修、概要について記述する。

2. 設計・施工

この方式は一見単純なようであるが、意外に多くの未解決な技術的問題が内蔵されており、その内容を列挙するとつきの通りである。

- (1) 上部構造に関しては直板・斜板の許容回転変位（板のネジり）の推定、それによる支承反力変化およびヒンジ（メナーピンジ）反応、許容回転角など。
- (2) 基礎かドクセ合に際しては長期の経時変化による沈下の推定、不均質な地盤や斜り盛土に生ずる不等沈下の推定、リンドコンパクションバイル（S.C.P.）の諸効果、橋脚基礎（P）に与える盛土荷重の影響、地震時ににおける盛土上の受けの挙動と安定など。
- (3) 交通開放中などの維持・補修に関する管理および作業など

このため、(1)に関しては鉄筋コンクリート中空床版の模型（幾何学的縮尺 $\frac{1}{2}$ ）試験を直板、斜板（斜角60°）について行なうと同時に、メナーピンジの実大模型試験（供試体数20個）を実施した。(2)に関しては既存資料（名神高速道路など）の沈下形状、沈下推定法の検討を行なうと同時に、工事中に大掛かり基礎地盤の動態観測を行なった。(3)に関しては、現在A.C.方式の沈下追跡調査を継続しており「維持・補修に関する解説書」を既存資料から作成し、必要な維持管理体制を完了している。

2.1 基礎安定処理

設計では以下に述べる理由からS.C.P.およびフレローディングエ法を併用することにした。

1) S.C.P.を併用する理由

- (1) 一般盛土区間に比べて、地盤に対する上載荷重は受け直下の方が約1.4倍大きいので、砂柱と粘性土の複合地盤にすることにより沈下および支持力効果を期待する。
- (2) 端盛土部が高盛土のためすべり破壊の恐れがあり（施工地点 U-A₂, T-A₂）、これに対して砂柱との滑抵抗力を期待する。
- (3) 不均質な地盤（T-A₂）や斜り盛土（斜角60°のF-A₁）における受けの不等沈下を少なくする。

2) フレローディングを併用する理由

- (1) 地盤の沈下を促進させ、強度増加をはかる。
- (2) 盛土上に受けを置いたの受け施工前にフレローディングを行ない、盛土本体と地盤の残留沈下量を減少させ、支持力を強化する。
- (3) 橋脚基礎（P）のゲートアーチフレーフーションおよび水平土圧を軽減する。

S.C.P.の打設範囲としては、受けの地盤（敷設範囲、有効支持範囲）を確保するために、有効支持範

周とそのまわりの地盤を強化する範囲とに分けて設計した。すなわち、有効支持範囲は受台から45°分布するとし、S.C.P.を正三角形1.8m配置とし、そのまわりを強化する範囲は受台から1割分布と2割分布に囲まれる部とし正三角形2.4m配置とした。またその改良深さは良質な地層までを原則としたが、施工地点F-A₁, F-A₃, F-A₄は良質な地層までが深い、改良深さは10mまでとした。

アプローディングの余盛高は受台の常時反力度10~15t/mm以上とし、受台と余盛範囲の関係は圧密層に表した地中応力分布を考慮して決定した。受台中心位置から法肩まで図-1の10mの範囲とした。

またアプロードの放置期間は実測による推定沈下から判断したが、实用性を考慮して地表面下10mまでの圧密度Jが90%以上になれば除荷してよいこととした。設計ではTerzaghiの圧密理論によつてアプローディングの期間を一応決めたが、実際には理論沈下量の精度が低く、動態観測の結果から実測沈下量の±60cmのバラツキを示す結果となり、設計時の単なる目安として用いたに過ぎなかつた。

2.2 受台およびアプローチ盛土工

受台の支持力計算はMeyerhofの法面に近い帶状基礎の支持力理論を用いて計算したが、施工地点U-A₁, T-A₁の洪積ローム地盤を除き、受台部はロームによる盛土となるため支持力が期待できず、受台を支持する盛土部分（アプローチ盛土工といふ）に良質なセレクト材を用いた。アプローチ盛土工は受台の荷重分布および耐震性を考慮して図-4の2割コウ配の範囲で用いることとした。

受台本体の設計は最終沈下量、ジャッキアップ、受台底面反力度、背面土圧、地震時の挙動および補修の難易を考慮して形状断面を決めた。すなわち剛性の大きい断面で、かつ接地圧を小さくするものである。また、フーチングの上・下車線の中央にはジョイントフィーラー（エラスタイト1cm）および止水板を入れ、フーチングの下場鉄筋は連続させメナーゼヒンジとした。

なお、受台の安定上から盛土仕上り面はフーチング前面より法肩まで最小限3mを確保し、しかも盛りこぼし部の仕上り法面は石張り施工とした。また、図-4に示すようにアプローチ盛土工の天場中は軟弱地盤であるため上げ起しを行なって施工した。

2.3 橋脚および基礎グイ

橋脚の設計は接続橋リヨウに応じて設計したが、施工地点F-A₁は斜角60°となり本来斜角が75°~90°の範囲で設計できるようになりますが、この範囲内にするには構造および架橋条件等に無理があり、やむをえずF-A₁のみ斜角60°として施工した。

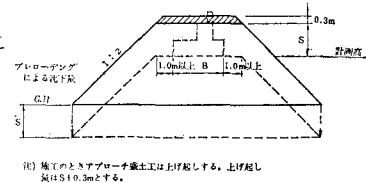
橋脚基礎グイは支持グイとしてアプローチ・スラブの橋脚端を地盤および橋脚に固定させた。基礎グイは軟弱地盤のため、アプローディングし土の強度増加をまって施工できるような工程を作成した。

また、アプローディング中や除荷後のフーチング掘削時に端盛土部の安定計算を行ない、十分安全であることを確認した上で施工を行なった。

2.4 アプローチ・スラブ

アプローチスラブはネジリ剛性の大きい鉄筋コンクリート中空床版を採用したが、設計として断面力の解析は許容回転支承変位およびネジリメントを除き従来通りの設計を行なつた。回転支承変

図4 アプローチ盛土工の設計



(注) 地盤のときアプローチ盛土工は上げ起しする。上げ起し高さはS=1.0mとする。

位の影響は主としてネジリモーメントとして表われるので、これに対する許容値をもって許容回転支承変位を求め、同時にネジリモーメントに対しても補強鉄筋を配置した。

1) 模型スラブの試験と理論の比較

a) 破壊時のネジリ変位

① 狩野・泉の論文(コンクリートジャーナル 1966 Vol. 1 No. 1, 1966 Vol. 3 No. 4)

$$Z_{\max} = \frac{\gamma M_T}{B^2 d}$$

ここで Z_{\max} : 最大ネジリセン断応力度 (kg/cm^2)

M_T : ネジリモーメント ($\text{kg}\cdot\text{cm}$)

且 d/b より決まる係数(長辺に対して $\gamma = 5.5 - 0.4 d/b \geq 3.5$)

b : 短辺長 (cm)

d : 長辺長 (cm)

$$M_T = \frac{1}{S \cdot a_{sv} \cdot 2 \cdot b \cdot d \cdot f_t}$$

ここで S : 横方向鉄筋間隔 ($S = 9.0 \text{ cm}$)

a_{sv} : 横方向鉄筋一本

の断面積 ($a_{sv} = 0.7133 \text{ cm}^2$)

f_t : 鉄筋引張り強さ(降伏点 $\sigma_s = 3,000 \text{ kg/cm}^2$)

② 国田清著「アレストレストコンクリートの設計」

部材のネジリ

$$\theta = M_T \cdot l / G \cdot J$$

ここで θ : ネジリ角 (rad.)

M_T : ネジリモーメント ($\text{t}\cdot\text{m}$)

l : 部材長 (cm)

G : セン断弹性係数 ($G = 0.43 \cdot E_c = 9.03 \times 10^4 \text{ t/cm}^2$)

J : ネジリ係数 (cm^4)

ネジリ係数 J の近似値

$$h \leq 1.6 \cdot b$$

$$J = \frac{b^3 \cdot h^3}{3.58 \cdot (b^2 + h^2)}$$

$$h > 1.6 \cdot b$$

$$J = \frac{b^3 \cdot h}{3} \left(1 - 0.63 \frac{b}{h} \right)$$

③ 狩野・泉の論文(コンクリートジャーナル 1966 Vol. 1 No. 1, 1966 Vol. 3 No. 4)



図-6

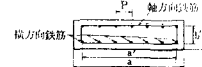


図-7

表-2

b/d	1.0	1.2	1.5	1.75	2.0	2.5	3.0	4.0	5.0	10	∞
γ	0.141	0.166	0.196	0.214	0.229	0.249	0.263	0.281	0.291	0.312	1/3
η	0.675	0.759	0.848	0.895	0.930	0.968	0.985	0.997	0.999	1.0	1.0

表-3 $\sigma_s=270 \text{ kg/cm}^2$ に對し $\tau=27 \text{ kg/cm}^2$ とする

	M_T (cm)	θ (ラジアン)	δ (mm)	τ_{\max} (kg/cm^2)	備考
① 井川謹論文より	67.4			27.0	コンクリート破壊点 M_T
	72.2			27.0	鉄筋時点 M_T
② 横道英雄著“コンクリート橋”より	73.5	0.00472	18.3	27.0	$\tau=27$ の場合
④ 国田清著 “P.C.の設計”より	72.0	0.00469	18.2		M_T を既定
⑥ “筋肉土木構造物の設計”より	56.5	0.00665	21.9	27.0	
実験より	68	0.0043	16.7	(27.0)	

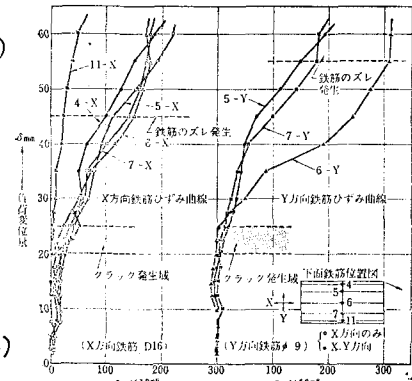


図-9 鉄筋ひずみ曲線

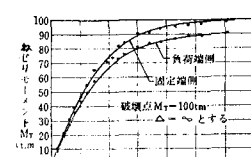


図-8 M_T-J 曲線(實験測定値より)

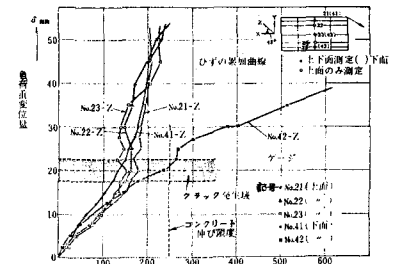


図-10 コンクリート面ひずみ曲線

④ 狩野・泉の論文(コンクリートジャーナル 1966 Vol. 1 No. 1, 1966 Vol. 3 No. 4)

$$M_T = G \cdot I_T \cdot \theta'$$

$$Z_{\max} = \frac{M_T}{I_t} d \cdot \eta$$

ここで M_T : ネジリモーメント ($\text{kg}\cdot\text{cm}$)

G : セン断弾性係数 (kg/cm^2)

I_t : ネジリ断面二次モーメント (cm^4), $I_t = \pi \cdot b \cdot d^3$

θ' : 単位長に対する角変化 (rad.)

Z_{\max} : 最大ネジリセン断応力度 (kg/cm^2)

表-4 設計荷重に対して

ねじり支承数 3mm	ねじりモーメント $M_T \text{ tm/m}$	A.C. スラブの特徴	
		測定モーメントによる曲げ形クラックまでの発生	測定モーメントによる曲げ形クラックまでの発生
1	0	0	測定モーメントによる曲げ形クラックまでの発生
2	10	56	測定モーメントによる曲げ形クラックまでの発生
3	27	120	測定モーメントによる曲げ形クラックが生じ、横筋の現れが見られる。クラックが発生した際の現象がひび割れの発生の兆し。
4	32	132	測定モーメントによる曲げ形クラックが発生する。ねじりは既に既に大きくなり曲げ形クラックが発生する。

(2) 実験値と理論値

実験は模型スラブに種々の測定機器を取り付け、できるだけ純ネジリを与える方法で行った。この結果は図-8, 9, 10の通りであり、図-8は直板固定端側のロードセルによる反力変化とネジリ変位量から求めたものであり、図-9, 10はそのときのコンクリート面ひずみと鉄筋のひずみを示したものである。クラック発生域はコンクリートの曲げ引張りに対する極限ひずみで、横道氏らによれば $E_c = 240 \times 10^6$ (ただし $E_c = 270 \text{ kg/cm}^2$ のとき)

以上の結果をまとめたものが表-3である。これより前項の理論値と実験値がよく一致することがわかる。そこで試験結果を実橋に利用できるようにスラブの終局曲げ強度の補正、相似率による補正を行なうと表-4のとおりとなった。

2) スラブの設計結果

この設計は鉄筋コンクリート中空床版橋を用い、スラブ形状としては橋長15.70m、版厚95cm、版巾8.00mとした。先述により設計した結果、鉄筋量はほぼ 180 kg/cm^2 となった。

2.4 その他細部設計

この方式は挙上げを前提としているので、つきの事項を配慮して設計した。

1) 支承

支承は橋脚側を固定端として回転のできるヒンジ支承を用いた。支承として受台の残留沈下が15cm未満のところではメナーゼヒンジ（実大模型試験により確認）を用いたが、受台の残留沈下が15cm以上のところではピン型支承を用いた。また一方の受台側は可動端とし、スラブを容易に挙上げできるよう配慮してスラブ下面にはラバー層（D.S.Fパット）を用い、スラブ両側面には硬質ラバー層（ネオプレス）を使用した。

2) 伸縮継手

橋脚側の伸縮継手は回転の容易なラバージョイント（H.S.Q.）を使用し、受台側がパラペット付き受台の場合は挙上げ時取外し易いジョイント（ハマジョイント）を用いた。パラペットなしの受台のときは伸縮目地材（エラスタイト2cm）をスラブ断面に貼り付け、切削目地とした。

3) 橋面排水

排水装置はアプローチ・スラブ両端の構りヨウかおよび盛土側に設けた。ただしA.C.方式のうち、沈下によって縦断コウ配のないところ期間を有する施工工所については排水孔付ヨリ石を用いた。

4) ジャッキ受け

場合にはジャッキ受けを2ヶ所設け、油圧ジャッキ100ton(ユニバーサルヘッド付き)が容易に挿入できる形式とした。

5) アップリフト・ストッパー

アップリフト・ストッパーはジャッキ受け内に装置し、ジャッキアップ時には取外してあるようになタバッフル・ジョイントとした。

2.5 動態観測計画

A.C.方式の動態観測は盛土施工時とA.C.施工期間中に測定する場合のほか、A.C.施工後の維持管理として測定するものに分けられ、前者はT型沈下板、S型沈下板を用い、後者は後述するように受台上をレベリングするほか、傾斜計、緑目計などによる電気変換によっても測定できるようにした。

2.6 上げ越しおよび作動試験

上げ越し施工と作動試験は供用開始前(舗装時のベースコース以後)に同時に実施した。なお上げ越し施工は残留沈下の大きい場合に行ない、路面コウ配は0.4%以内になるようにスラブを打上げする。また作動試験はA.C.方式施工後所定の機能を有しているかを調べる試験である。

2.7 施工手順と工程

A.C.方式の施工手順および工程を示すと図-11の通りである。今回が初めての施工であったので、図-11のことく極力残留沈下を少なくした。なお、今後は完成後の沈下性状が実証されたので、その特色を生かしてアプロードの除荷時期を速め、工期短縮を計る必要がある。

3. 維持・補修

先述の模型試験からも明らかのように、アプローチ・スラブには表-6~8のごとく補修限界がある。したがって、その動態変化と安全の確認および維持補修を行なう必要がある。

図-12および表-5は維持補修の段階を示したものであるが、A.C.方式施工後の沈下挙動の管理図を示すと図-13のとおりで

図-11 アプローチ・クッショング全体工程図

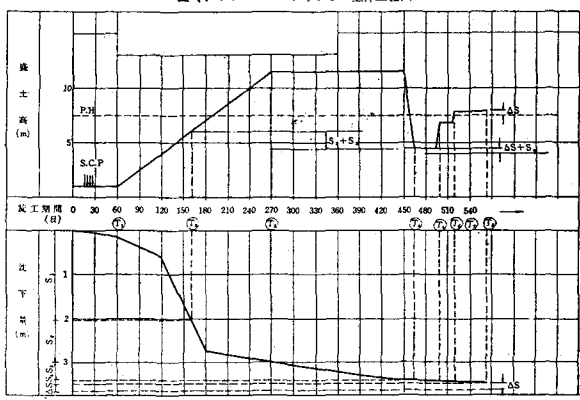


図-12 アプローチ・クッショングの維持管理図

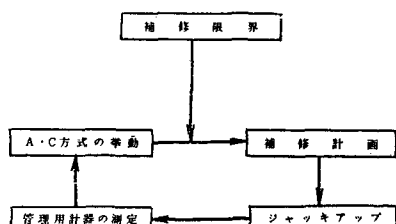


表-5 維持管理項目一覧表

維持管理項目		主な項目内容
管	計器理の測用定	相対計盤目計沈下計の測定 測定結果の整理 測定頻度 測定設備の整備点検
AのC挙動	受台の挙動 沈下の推定 管理図の作成	各A.C.方式に取付けた計器の定期観測を行なう 測定結果は所定の用紙に整理する 測定状況により頻度測定点の再検討を行なう 油もれ、さび、コードの断線等の整備、点検 軸方向、直角方向、ひびわれの状況等の把握 経時沈下および最終沈下の検討 許容値の上限下限間に構造物があるかを管理図により管理する 管理団より補修時期を決め補修計画を立案
補修計画	補修時期の決定 A.C.のスリ付ける計画 ジャッキアップ量の決定 補修工事の発注	綫横断線形のスリ付ける方法の決定 ジャッキアップに対するオーバーレイするかまたその量の決定 積算発注
ジャッキアップ	嵩上げ用パッキンの製作 交通処理対策 ジャッキアップと補修管理 補修後の状況記録	パッキンの製作と検査 交通対策と管理方法の再確認 要領通りのジャッキアップおよび補修を行なっているか 仕上り状況とジャッキアップ前後の関係

ある。この図から明らかなように下部粘土層の圧密と考えられる沈下が完成後も起こっており、これはF-A₁の場合であるが、F-A₃、F-A₄も同様な状況にある。

また、スラブの地盤間の不等沈下も図-13に示しているが、ある値以上には不等沈下を生じない。この傾向は他のA.C.方式全般にみられ、A.C.方式の最大の問題点の一つであった不等沈下に関して、ほぼ実証的に解決できる見通しとなった。

4. あとがき

A.C.方式の開発によって構造物と盛土の接続部に生じる段差や、橋台の経済性の問題等がほぼ解決に近づいたことを東名高速道路における施工例とともに詳述し、あわせて今後の設計、施工の手法についても述べた。

なお、本方式の開発に参画された日本道路公団の諸先輩の方々に心から謝意を表する次第である。

自動車走行上の耐候限界。

表6 路面勾配の限界

設計速度(km/hr)	60	80	100	120	摘要	
路面勾配 α %	限界	1.1	1.0	0.9	0.8	乗心地係数5~10
テーパー長10m以上	許容	0.6	0.5	0.4	0.3	

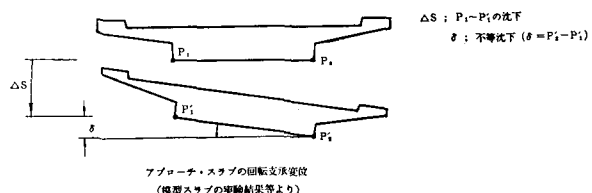
メナーゼヒンジの補修限界。

表7 常時荷重に対する回転角

A.C.施工方法	許容θ _a	限界θ _d
T-A ₁ , U-A ₁	Rad 0.005	Rad 0.008
F-A ₂ , F-A ₃ , F-A ₄	0.008	0.01

表8

A.C.施工方法	許容θ _a	限界θ _d	摘要
F-A ₁	20mm	25mm	斜角63°
U-A ₁ , U-A ₂ , T-A ₁ , T-A ₂ , F-A ₂ , F-A ₃ , F-A ₄	25	30	直角



アプローチ・スラブの回転支承位置
(模型スラブの実験結果等より)

